

УДК 539.3

**РАЗВИТИЕ МЕТОДА ГРАНИЧНЫХ ЭЛЕМЕНТОВ
ДЛЯ РЕШЕНИЯ ТРЕХМЕРНЫХ КОНТАКТНЫХ
НЕСТАЦИОНАРНЫХ ДИНАМИЧЕСКИХ ЗАДАЧ
ТЕОРИИ УПРУГОСТИ*)**

А.А. Белов, Л.А. Игумнов, С.Ю. Литвинчук

Нижний Новгород

В статье представлены два подхода метода граничных элементов (МГЭ) к решению трехмерных динамических задач теории упругости. Описан и продемонстрирован МГЭ-подход с использованием интегрального преобразования Лапласа и метода Дурбина, который позволяет строить искомую функцию с помощью известного изображения. Применен метод Дурбина с неравномерной кусочно-квадратичной аппроксимацией изображения. Кроме того, представлен МГЭ-подход с явным учетом переменной времени. Использована гранично-элементная техника построения дискретного аналога в сочетании с методом квадратур для свертки. Предложена оригинальная схема метода квадратур для свертки. Приведены результаты МГЭ-расчетов. Продемонстрирована высокая точность разработанных МГЭ-схем.

Введение

Подобно статическим или стационарным динамическим задачам, нестационарные задачи могут быть решены методом граничных интегральных уравнений (ГИУ). Применение МГЭ-схем для получения численного решения контактных задач вызвано стремлением избежать трудностей построения сеточных контактных алгоритмов. Детальный обзор по упругодинамическим аспектам граничных элементов можно найти в [1–5].

Существующие методологии решения задач упругодинамики с использованием МГЭ укладываются, главным образом, в два возможных подхода: прямой подход во временной области и подход с использованием обратного преобразования в области Лапласа. В большинстве случаев используется последний метод [6]. Все численные формулы обращения зависят от надлежащего выбора их параметров [7, 8]. Все пошаговые процедуры требуют адекватного выбора шага по времени. Неверно выбранный шаг по времени приводит к неустойчивости или численному демпфированию. Методы улучшения устойчивости классической динамической пошаговой формулировки граничных элементов можно найти в статьях Н. Antes и М. Jager [9], G. Yu [10, 11], M. Schanz [12], A. Peirce и E. Siebrits [13, 14], D.C. Rizos и D.L. Karabalis [15], H.V. Coda и W.S. Venturini [16, 17], G. Yu [18, 19].

*) Работа выполнена при частичном финансировании РФФИ (гранты 05-01-00837а, 07-08-13637 офи-ц) и Министерством образования и науки РФ (грант Президента РФ на поддержку ведущих научных школ НШ-6391.2006.8).

Представлены два подхода: использование МГЭ совместно с преобразованием Лапласа и методом Дурбина при неравномерной кусочно-квадратичной аппроксимации спектральной функции и использование МГЭ в явном времени в рамках метода квадратур для сверток. Рассматриваемая гранично-временная формулировка является вариацией подхода, использующего метод С. Lubich [20].

1. Волновые потенциалы теории упругости

Пусть S – замкнутая поверхность класса $\tilde{N}^{1,\alpha}$ ($\alpha > 0$), разделяющая n -мерное пространство R^n на области Ω^+ (внутреннюю) и Ω^- (внешнюю). Смещение точки $x = (x_1, \dots, x_n)$ упругой среды, занимающей области Ω^+ или Ω^- , в момент времени $t = x_{n+1}$ определяется вектор-функцией $u = u(x, t) = u(x')$, где $x' = (x, t)$, с компонентами $u = u(x, t) = u(x')$ ($i = 1, \dots, n$). Кроме того, вводятся обозначения: $G^\pm = \Omega^\pm \times R^+$, $\Sigma = S \times R$, $\Sigma^+ = S \times R^+$, $R^+ = (0, \infty)$.

Границу S считаем многообразием класса C^∞ , локально выпрямленным при помощи невырожденных C^∞ -преобразований координат. Соответствующие интегральные представления для вектора перемещений были построены впервые в работах де Хупа [21], В. Новацкого [22] и др. при условии, что известна матрица $U(x, y, z)$ фундаментальных решений. Запаздывающие потенциалы вводятся на основе фундаментального решения, представляющего собой $n \times n$ -матрицу (тензор), столбцы которой U_j ($j = 1, \dots, n$) удовлетворяют уравнениям:

$$(\partial_t^2 + L^0(\partial))U_j(x') = \delta(x') \cdot e_j,$$

где δ – функция Дирака, L^0 – соответствующий статический оператор, e_j – орт j -й оси координат, и условию причинности: $U(x, t) = 0$ при $t < 0$.

Запаздывающие потенциалы простого и двойного слоев с n -компонентными плотностями $\alpha(x')$, $\beta(x')$ ($x' \in \Sigma^+$) определяются соответственно формулами:

$$(V\alpha)(x') = \int_{\Sigma^+} (U_j(x - y, t - \tau), \alpha(y, \tau)) e_j ds_y d\tau, \quad (1)$$

$$(W\beta)(x') = \int_{\Sigma^+} ((T_{\nu(y)} U_j)(x - y, t - \tau), \beta(y, \tau)) e_j ds_y d\tau, \quad (2)$$

где T_ν – оператор сингулярного решения, ν – единичная нормаль. В формулах (1), (2) выражение (\cdot, \cdot) – вещественное скалярное произведение в n -мерном пространстве. Пусть плотности потенциалов равны нулю при $t < 0$. Оба потенциала удовлетворяют в G^\pm исходному уравнению и нулевым начальным условиям. При гладких плотностях справедливы формулы скачков потенциалов при переходе точки x' через Σ^+ [23]. Обозначив через $W^\pm \beta$, $W^0 \beta$ соответственно предельные значения потенциала $W\beta$ из G^\pm и его прямое значение на Σ^+ , получим:

$$W^\pm \beta = \mp \frac{1}{2} \beta + W^0 \beta.$$

Потенциал простого слоя непрерывен, скачок терпит вектор его нормальных усилий. Обозначая

$$(K^\pm \alpha)(x') = (T_{\nu(x)} V\alpha)^\pm(x')$$

при $x' \in \Sigma^+$, найдем:

$$K^\pm \alpha = \pm \frac{1}{2} \alpha + K^0 \alpha,$$

где $K^0 \alpha$ – прямое значение соответствующего интеграла.

Предельные значения вектора нормальных усилий потенциала двойного слоя $(F^\pm \beta)(x') = (T_{v(x)} W \beta)^\pm(x')$ совпадают и в дальнейшем обозначаются через $F \beta = F^\pm \beta$. Свойства граничных операторов позволяют установить справедливость формул скачков:

$$\begin{aligned} W^+ \beta - W^- \beta &= -\beta, & V^+ \alpha - V^- \alpha &= 0, \\ F^+ \beta - F^- \beta &= 0, & K^+ \alpha - K^- \alpha &= \alpha \end{aligned} \quad (3)$$

для плотностей из более широких классов, когда под левыми частями в (3) понимаются следы на Σ^+ вектор-функций из соответствующих пространств Соболева.

Преобразования Лапласа потенциалов простого и двойного слоев принимают вид $(V_p \alpha)(x, p)$ и $(W_p \beta)(x, p)$, где V_p и W_p при каждом p построены с помощью фундаментального решения $U(x, p)$, столбцы которого $U_j(x, p)$ ($j = 1, \dots, n$) удовлетворяют уравнениям

$$(p^2 + L^0(\partial))U_j(x, p) = \delta(x) \cdot e_j,$$

аналитичны и растут по аргументу p в правой полуплоскости не быстрее полинома:

$$(V_p \alpha)(x, p) = \int_S (U_j(x-y, p), \alpha(y, p)) e_j ds_y, \quad (4)$$

$$(W_p \beta)(x, p) = \int_S ((T_{v(y)} U_j)(x-y, p), \beta(y, p)) e_j ds_y.$$

Операторы N_p^\pm определим формулами:

$$\pm (N_p^\pm v, w)_{0,S} = p^2 (u, z)_{0,\Omega^\pm} + (C_{ijkl} \varepsilon_{kl}(u), \varepsilon_{ij}(z))_{0,\Omega^\pm}, \quad (5)$$

сохранив для скалярного произведения функций в пространстве $L_2(\Omega^\pm)$ то же обозначение, что и для n -компонентных вектор-функций. Операторы N_p^\pm определены равенствами (5) корректно, то есть правые части в (5) не зависят от выбора продолжения z .

При всех p для потенциалов V_p, W_p справедливы формулы скачков:

$$\begin{aligned} W_p^+ \beta - W_p^- \beta &= -\beta, & V_p^+ \alpha - V_p^- \alpha &= 0, \\ F_p^+ \beta - F_p^- \beta &= 0, & K_p^+ \alpha - K_p^- \alpha &= \alpha, \\ N_p^+ V_p \alpha - N_p^- V_p \alpha &= \alpha, \end{aligned}$$

где $(K_p^\pm \alpha)(x, p) = (T_{v(x)} V_p \alpha)^\pm(x, p)$, $(F_p^\pm \beta)(x, p) = (T_{v(x)} W_p \beta)^\pm(x, p) = (F_p \beta)(x, p)$, индексы " \pm " после перехода к преобразованиям Лапласа означают предельные значения соответствующих величин при $x \rightarrow S$ из Ω^\pm .

Рассмотрим теперь прямой вариант метода граничных уравнений [24]. В предлагаемой схеме основой для получения разрешающих уравнений прямого подхода

служат равенства

$$VN^{\pm} - W^{\pm} = \pm I. \quad (6)$$

В задачах I^{\pm} , считая неизвестной величину $\alpha = N^{\pm} f^{\pm}$, получаем уравнения

$$I_A^{\pm}. \quad V\alpha = W^{\mp} f^{\pm}. \quad (7)$$

Применив в (7) операторы N^{\mp} , получим уравнения

$$I_B^{\pm}. \quad K^{\mp} \alpha = Ff^{\pm}.$$

В задачах II^{\pm} искомым является β – смещение упругой среды на Σ^+ . Формула (6) принимает вид: $Vg^{\pm} - W^{\pm} \beta = \pm \beta$,

$$II_A^{\pm}. \quad W^{\mp} \beta = Vg^{\pm}. \quad (8)$$

Применив к (8) операторы N^{\mp} , получим уравнения:

$$II_B^{\pm}. \quad F\beta = K^{\mp} g^{\pm}.$$

Полученные результаты справедливы для кусочно-гладких поверхностей класса $\tilde{N}^{0,1}$, являющихся объединением незамкнутых поверхностей класса $C^{1,\alpha}$ ($\alpha > 0$).

Предположим, что поверхность S разделена замкнутым контуром $\Gamma \subset S$ на две связанные компоненты S_i ($i = 1, 2$) ненулевой площади, так что $\Gamma = \partial S_i$ ($i = 1, 2$). В G^{\pm} рассмотрим уравнения трехмерной анизотропной нестационарной теории упругости с нулевыми начальными данными. На части граничной поверхности $\Sigma_1^+ = S_1 \times R^+$ задаются смещения $u^{\pm} = f^{\pm}$, на $\Sigma_2^+ = S_2 \times R^+$ – нормальные граничные усилия упругой среды $T_v^{\pm} u = g^{\pm}$. Решение этой задачи, которую мы обозначим через III^{\pm} , будем искать в виде:

$$u(x') = (W\beta)(x') + (V\alpha)(x'), \quad (9)$$

где плотности β и α сосредоточены на Σ_1^+ и Σ_2^+ соответственно.

Формальная подстановка (9) в граничные условия приводит к парным граничным уравнениям

$$\begin{cases} \pi_1(W^{\pm} \beta + V\alpha) = f^{\pm}, \\ \pi_2(F\beta + K^{\pm} \alpha) = g^{\pm}, \end{cases} \quad (10)$$

где через π_i обозначены операции сужения элементов, заданных на S , на соответствующую часть S_i ($i = 1, 2$). Рассмотрим вопрос о разрешимости уравнений (10).

2. Гранично-элементная дискретизация

Чтобы ввести ГЭ-дискретизацию, рассмотрим регуляризованное уравнение без объемных сил и начальных деформаций, то есть:

$$\alpha_{\Omega} u_k(x) + \int_{\partial\Omega} \{T_{ik}(x, y, p)[u_i(y) - u_i(x)] - U_{ik}(x, y, p)t_i(y)\} dS_x = 0 \quad (x \in \partial\Omega), \quad (11)$$

где $x \in \partial\Omega$ называется точкой наблюдения или коллокационной точкой. Базовый процесс ГЭ-дискретизации состоит в разбиении поверхности $\partial\Omega$ на N_E граничных элементов E_e ($1 \leq e \leq N_E$) совокупностью четырехугольных и треугольных восьмиузловых биквадратичных элементов. При этом треугольные элементы рас-

смаатриваются как вырожденные четырехугольные элементы (рис. 1,а), каждый из которых отображается на некий контрольный элемент Δ_e (каждый Δ_e – это либо квадрат $\xi = (\xi_1, \xi_2) \in [-1, 1]^2$, либо треугольник $0 \leq \xi_1 + \xi_2 \leq 1, \xi_1 \geq 0, \xi_2 \geq 0$, рис.1,б). Элемент E_e отображается на элемент Δ_e с помощью уравнения:

$$y_i(\xi) = \sum_{l=1}^8 N^l(\xi) y_i^{\beta(k,l)}, \quad i = 1, 2, 3, \quad \xi \in \Delta_e, \quad (12)$$

где $\beta(k, l)$ – глобальный номер узла, имеющего в k -м элементе локальный номер l , $N^l(\xi)$ – функции формы. В качестве функций формы выбраны квадратичные полиномы интерполяции.

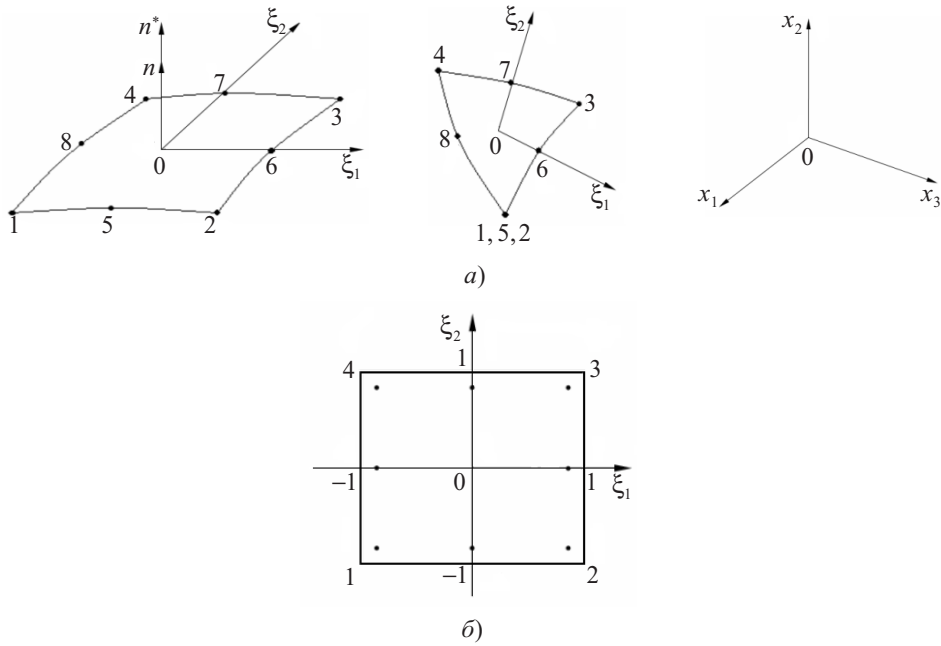


Рис. 1

Естественный базис (a_1, a_2) , метрический тензор g и единичная нормаль n на E_e запишутся как

$$a_\alpha(\xi) = \sum_{q=1}^N N_\alpha^q(\xi) x^q, \quad g_{\alpha\beta}(\xi) = a_\alpha(\xi) \cdot a_\beta(\xi),$$

$$J(\xi)n(\xi) = a_1 \wedge a_2, \quad J^2(\xi) = (g_{11}g_{22} - g_{12}^2)(\xi), \quad (13)$$

$$(\xi \in \Delta_e, \quad \alpha, \beta = 1, 2).$$

Неизвестные граничные поля (u, t) также интегрируются через узловые значения $u^k = u(z^k)$ и $t^k = t(z^k)$ в интерполяционных узлах z^k . Множество интерполяционных узлов отличается от множества геометрических узлов, а множество интерполяционных функций не совпадает с множеством функций формы. Рассмотрим случай, называемый согласованным интерполированием (Р.В. Гольдштейн, 1978), где для аппроксимации граничных перемещений применим билинейные элементы, а для

аппроксимации поверхностных сил – постоянные элементы. При этом для расчетного значения параметра p будем иметь следующие выражения граничных перемещений и поверхностных сил внутри элемента S_k :

$$u_i(y) = \sum_{l=1}^4 R^l(\xi) u_i^{\chi(k,l)}, \quad i = 1, 2, 3, \quad y \in S_k,$$

$$t_i(y) = t_i^{\chi(k,l)}, \quad i = 1, 2, 3, \quad y \in S_k.$$

Здесь $R^l(\xi)$ – функции формы для линейного четырехугольного элемента.

При упругой связи между h -й и j -й подконструкциями рассмотрим соотношение:

$$t_i^h(y) = -t_i^j(y) = -\gamma_i^{hj}(y)(u_i^h(y) - u_i^j(y)),$$

$$i = 1, 2, 3; \quad y \in S_k, \quad S_k \subset \Gamma_{hj} = \Gamma_h \cap \Gamma_j.$$

Для получения дискретного аналога ГИУ применим метод коллокации. В качестве узлов коллокации u^m будем выбирать узлы аппроксимации исходных граничных функций. В итоге формируются системы линейных алгебраических уравнений для каждой подконструкции:

$$\frac{1 - \alpha_\Omega}{2} u_i^m + \sum_{k=1}^N \sum_{l=1}^4 A_{ij}^{m,k,l} u_j^{\chi(k,l)} = \sum_{k=1}^{N_1} B_{ij}^{m,k} t_j^k - \sum_{k=1}^{N_2} \sum_{l=1}^4 D_{ij}^{m,k,l} (u_j^{\chi(k,l)} - u_j^{\bar{\chi}(\bar{k},l)}), \quad (14)$$

$$\frac{1 - \alpha_\Omega}{8} u_i^m + \sum_{k=1}^N \sum_{l=1}^4 A_{ij}^{m,k,l} u_j^{\chi(k,l)} = \sum_{k=1}^{N_1} B_{ij}^{m,k} t_j^k - \sum_{k=1}^{N_2} \sum_{l=1}^4 D_{ij}^{m,k,l} (u_j^{\chi(k,l)} - u_j^{\bar{\chi}(\bar{k},l)}), \quad (15)$$

$$N = N_1 + N_2,$$

где $\bar{\chi}(\bar{k}, l) = \bar{m}$ – глобальный номер узла некоторой (сопряженной) подконструкции, находящейся с рассматриваемой подконструкцией в упругой связи по k -му элементу; k – номер элемента сопряженной подконструкции, где задана упругая связь; N_1 – число элементов границы без упругих связей; N_2 – число элементов с упругой связью.

Уравнения (14) записаны в узлах аппроксимации перемещений, уравнения (15) записаны в узлах аппроксимации усилий:

$$A_{ij}^{m,k,l} = \int_{-1}^1 \int_{-1}^1 [R^l(\xi) T_{ij}(x^m, y^k(\xi), \delta) - \delta_{\chi(k,l),m} T_{ij}^0(x^m, y^k(\xi))] J^k(\xi) d\xi_1 d\xi_2,$$

$$B_{ij}^{m,k} = \int_{-1}^1 \int_{-1}^1 U_{ij}(x^m, y^k(\xi), \delta) J_k(\xi) d\xi_1 d\xi_2,$$

$$D_{ij}^{m,k,l} = \int_{-1}^1 \int_{-1}^1 R^l(\xi) U_{ij}(x^m, y^k(\xi), \delta) J_k(\xi) \alpha_j^{\bar{\chi}}(y^k(\xi)) d\xi_1 d\xi_2.$$

Необходимо отметить, что коэффициенты дискретных аналогов, определяемых функциями $U_{ij}^1, U_{ij}^2, U_{ij}^3, T_{ij}^{1,1}, T_{ij}^{1,2}$, имеют особенность типа $1/r$, а коэффициенты дискретных аналогов, определяемых функциями $T_{ij}^1, T_{ij}^2, T_{ij}^3$, – особенность типа $1/r^2$. Это и определяет специфику вычислительного процесса. При вычислении интегралов по поверхности рассматриваются два случая. Первый – точка x^m не принадлежит

элементу. Интегрирование по элементу сведено к повторному интегрированию по локальным координатам ξ_1 и ξ_2 . Для каждой из координат используются квадратурные формулы Гаусса. Второй случай – точка x^m принадлежит элементу, по которому производится интегрирование, тогда используется прием устранения особенностей.

Применим к исходным уравнениям интегральное преобразование Лапласа с параметром $p = \alpha + i\omega$. Имеем следующие ГИУ [25]:

$$c_{ij}(x)\bar{u}_j(x, p) + \int_{\Gamma} T_{ij}(x, y, p)\bar{u}_j(y, p) d_y S = \int_{\Gamma} U_{ij}(x - y, p)\bar{t}_j(y, p) d_y S, \quad (16)$$

$$\begin{aligned} c_{ij}(x)u_j(x, t) + \int_0^t \int_{\Gamma} T_{ij}(x, y, t - \tau)u_j(y, \tau) d_y S d\tau = \\ = \int_0^t U_{ij}(x - y, t - \tau)t_j(y, \tau) d_y S d\tau, \quad l = 1, 2, 3, \quad x \in \Gamma, \end{aligned} \quad (17)$$

где U_{ij} и T_{ij} – соответственно изображения по Лапласу или оригиналы компонент тензоров фундаментальных и сингулярных решений. ГИУ (16), (17) позволяют разработать эффективные численные методики для определения неизвестных функций.

Для численного обращения решения ГИУ (16) использован алгоритм, предложенный Дурбином [26, 27], а для решения ГИУ (17) – алгоритм С. Lubich [20, 28]:

$$F_k = \text{Re}[\bar{f}(\alpha + i\omega_k)], \quad G_k = \text{Im}[\bar{f}(\alpha + i\omega_k)], \quad \Delta_k = \omega_{k+1} - \omega_k,$$

$$f(0) = \sum_{k=1}^{\infty} \frac{(F_k + F_{k+1})\Delta_k}{2\pi},$$

$$\begin{aligned} f(t) \approx \frac{e^{\alpha t}}{\pi t^2} \sum_{k=1}^{\infty} \left[\frac{F_{k+1} - F_k}{\Delta_k} (\cos(\omega_{k+1}t) - \cos(\omega_k t)) - \right. \\ \left. - \frac{G_{k+1} - G_k}{\Delta_k} (\sin(\omega_{k+1}t) - \sin(\omega_k t)) \right]. \end{aligned}$$

$$y(t) = \int_0^t g(t - \tau)g(\tau) d\tau, \quad y(n\Delta t) = \sum_{k=0}^n \omega_{n-k}(\Delta t)g(k\Delta t), \quad n = 0, 1, \dots, N,$$

$$\omega_n(\Delta t) = \frac{\Re^{-n}}{L} \sum_{l=0}^{L-1} \bar{g}(\gamma(\Re e^{il2\pi L^{-1}})/\Delta t) e^{-inl2\pi L^{-1}},$$

$$\alpha_k x_{n+k} + \alpha_{k-1} x_{n+k-1} + \dots + \alpha_0 x_n =$$

$$= \Delta t [\beta_k (s x_{n+k} + g((n+k)\Delta t)) + \dots + \beta_0 (s x_n + g(n\Delta t))],$$

$$\gamma(z) = \frac{\alpha_0 p^k + \dots + \alpha_k}{\beta_0 p^k + \dots + \beta_k}, \quad x(t, p) = \int_0^t e^{p(t-\tau)} g(\tau) d\tau.$$

С помощью соответствующих перестановок столбцов между матрицами можно отделить известные (записываемые в правой части) от неизвестных (в левой части), тогда систему линейных алгебраических уравнений запишем в виде:

$$[K]\{X\} = \{Y\}, \quad (18)$$

где $\{X\}$ – N -"вектор", объединяющий все скалярные компоненты $\{u\}$, $\{t\}$, $\{p\}$ и $\{v\}$, остающиеся неизвестными. На практике реального построения матриц $[A]$, $[B]$ и т.д. избегают, а в процессе сборки непосредственно получают $[K]$ и $\{Y\}$.

Матрица $[K]$ для однородной задачи полностью заполненная и несимметричная. Элементы матрицы оцениваются с помощью схем численного интегрирования, выбираемых в зависимости от того, каким является интеграл – несингулярным или сингулярным.

Несингулярные интегралы получаются, когда коллокационная точка не принадлежит элементу. Здесь применяются стандартные квадратуры, обычно гауссовского типа. Интегрирование по элементу сведено к повторному интегрированию по локальным координатам ξ_1 и ξ_2 . По каждой из координат будем использовать квадратурные формулы Гаусса. По переменным ξ_1 и ξ_2 берется одинаковое число точек интегрирования. Количество используемых точек Гаусса варьируется в зависимости от расстояния между u и E_e (относительно характерной длины элемента).

Сингулярные интегралы возникают, когда точка x^m принадлежит элементу, по которому производится интегрирование. Из регуляризованного интегрального уравнения получают уравнения МГЭ, сингулярные интегралы на соответствующем элементе дают сходимость [29]. Однако для их точной численной оценки требуется преобразование в несингулярные интегралы. В случае согласованной аппроксимации точка x^m расположена либо в угловом узле, либо в центре элемента. Для устранения особенности подынтегральных выражений использовано преобразование J.C. Lachat, J.O. Watson [30].

При наличии в рассматриваемой задаче плоскостей симметрии удастся существенно сократить объем исходной информации и вычислений.

Пусть граница $\Gamma \equiv \partial\Omega$ тела Ω состоит из $L+1$ симметричных фрагментов Γ^l ($l = 0, \dots, L$): $\Gamma = \Gamma^0 + \Gamma^1 + \dots + \Gamma^L$. Будем считать фрагмент Γ^0 основным. Тогда любой фрагмент Γ^l можно получить из фрагмента Γ^0 путем применения некоторого преобразования $\alpha^l = [\alpha_{ij}^l]_{3 \times 3}$ ($l = 0, \dots, L$), причем под α^0 понимается тождественное преобразование фрагмента Γ^0 самого в себя.

Построенная ГЭ-схема позволяет создать программное обеспечение и организовать численный расчет трехмерной задачи гранично-элементной стратегией дискретизации. Однако эти системы можно дополнить порождающими их начально-краевыми задачами и контактными соотношениями. Таким образом, решение исходной разрешающей системы МГЭ разбивается на два этапа, и размерность системы алгебраических уравнений, которую необходимо решать, понижается.

3. Гранично-элементные расчеты

Рассмотрим задачу о торцевом ударе силой $p = 1$ Н/м² призматического тела ($a = 1$ м) с жестко закрепленным концом (рис. 2) и параметрами материала: плотность $\rho = 7850$ кг/м³, коэффициент Пуассона $\nu = 0$, модуль Юнга $\dot{A} = 2,11 \cdot 10^{11}$ Ёа . Задача имеет аналитическое решение и известно ее МГЭ-решение в сочетании с методом С. Lubich [20, 28]. Результаты расчетов перемещений на закрепленном торце приведены на рис. 3. Кривая 1 соответствует аналитическому решению; кривая 2 – МГЭ-решению, полученному методом Дурбина со 126 четырехугольными ГЭ на одной четверти равномерной сетки; кривая 3 – МГЭ-решению из [12] с 324 треугольными ГЭ на неравномерной сетке; кривая 4 – МГЭ-решению, полученному

с помощью метода С. Lubich со 126 четырехугольными ГЭ на четверти равномерной сетки. Параметры схемы С. Lubich выбраны следующие: $\Delta t = 0,00005$; $N = 2000$; $R = 0,9948$.

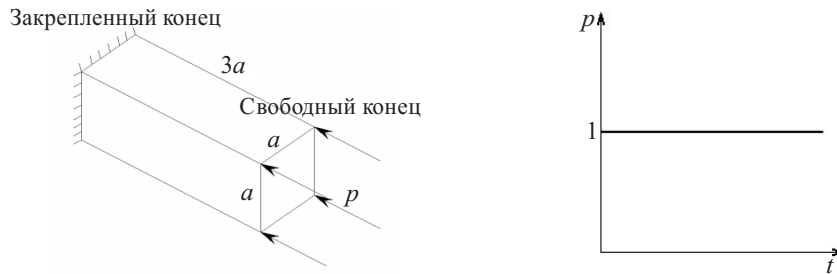


Рис. 2

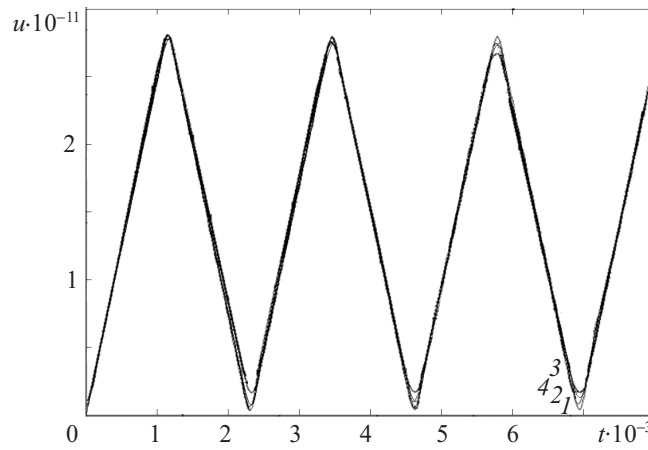


Рис. 3

Соответствующий отклик напряжений представлен на рис. 4.

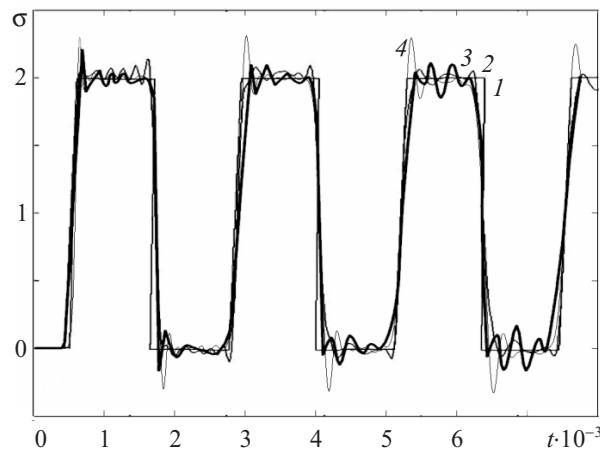


Рис. 4

Рассмотрим задачу о штампе. Базовая гранично-элементная сетка представлена на рис. 5. Расчеты велись для случая, когда каждый элемент разбивался на четыре дополнительных четырехугольных элемента. В итоге четверть равномерной сетки штампа содержала 24 ГЭ, а четверть ГЭ сетки дневной поверхности – 108 четырехугольных ГЭ.

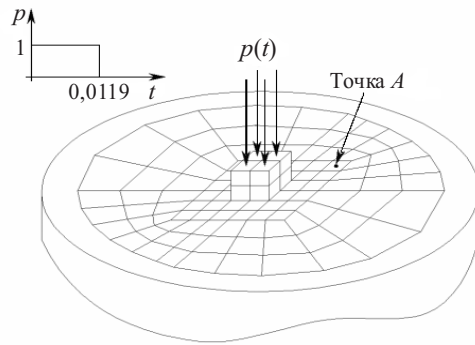


Рис. 5

Параметры материалов приведены в таблице.

	Штамп	Полупространство
λ	$0,8333 \cdot 10^8$	$1,1926 \cdot 10^8$
E	$3 \cdot 10^8$	$1,38 \cdot 10^8$
ν	0,2	0,35
ρ	2000	1966
λ	$0,8333 \cdot 10^8$	$1,1926 \cdot 10^8$
μ	$1,25 \cdot 10^8$	$0,5111 \cdot 10^8$
c_1	322,74	335,64
c_2	250	161,24

В качестве координат исследуемой точки взяли значения (2,33; 2,33; 0). Начало координат выбрано в центре контактной грани штампа.

Параметры схемы С. Lubich выбраны следующие: $\Delta t = 0,002$; $N = 500$; $R = 0,984$. На рис. 6 представлен отклик поверхностных перемещений.

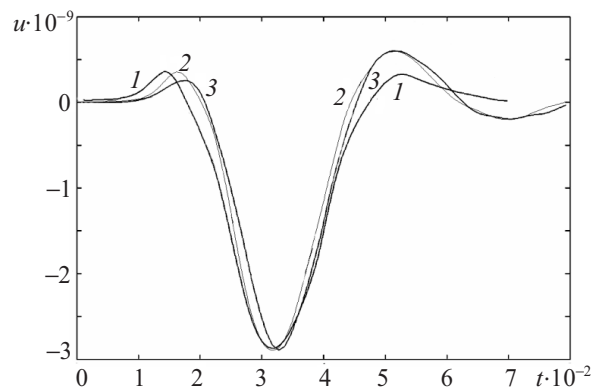


Рис. 6

Кривая 1 соответствует расчетам, приведенным в [31] с использованием схемы С. Lubich. Кривые 2 и 3 построены по описанным в работе схемам с использованием метода Дурбина и метода С. Lubich соответственно.

Расчетные примеры демонстрируют высокую вычислительную точность и устойчивость представленных ГЭ-схем как с применением интегрального преобразования Лапласа совместно с методом Дурбина, так и с использованием метода квадратур для сверток.

Литература

1. *Banerjee, P.K.* Advanced Development of BEM for Elastic and Inelastic Dynamic analysis of Solids / P.K. Banerjee, S. Ahmad, H.C. Wang: In Industrial Application of Boundary Element Methods. Developments in Boundary Element Methods / P.K. Banerjee, R.B. Wilson, eds. – London: Elsevier, 1989. – P. 77–177.
2. *Karabalis, D.L.* Dynamic Analysis of 3-D Foundations / D.L. Karabalis, D.C. Rizos: In Boundary Element Techniques in Geomechanics / G.D. Manolis, T.G. Davies, eds. – London: Elsevier, 1993.
3. *Antes, H.* The boundary integral Approach to static and dynamic contact problems / H. Antes, P.D. Panagiotopoulos // Int. Series of Numerical Mathematics 108. – Birkhauser, Basel, 1992. – 313 p.
4. *Beskos, D.E.* Boundary Element Methods in Dynamic Analysis / D.E. Beskos // Appl. Mech. Review. – 1987. – Vol. 40, № 1. – P. 1–23.
5. *Beskos, D.E.* Boundary element methods in dynamic analysis: Part II 1986–1996 / D.E. Beskos // Appl. Mech. Review. – 1997. – Vol. 50. – P. 149–197.
6. *Ahmad, S.* Dynamic Analysis of 3-D Structures by a Transformed Boundary Element Method / S. Ahmad, G.D. Manolis // Computational Mechanics. – 1987. – № 2. – P. 185–196.
7. *Cheng, A.H.-D.* Approximate Inversion of the Laplace Transform / A.H.-D. Cheng, P. Sidauruk, Y. Abousleiman // The Mathematica Jurnal. – 1994. – Vol. 4, № 2. – P. 76–82.
8. *Narayanan, G.V.* Numerical operational methods for time-dependent linear problems / G.V. Narayanan, D.E. Beskos // Int. J. Num. Meth. Eng. – 1982. – Vol. 18 (12). – P. 1829–1854.
9. *Antes, H.* On Stability and Efficiency of 3D Acoustic BE Procedures for Moving Noise Sources / H. Antes, M. Jager: In Computational Mechanics, Theory and Applications / S.N. Atluri, G. Yagawa, T.A. Cruse, eds. – Heidelberg: Springer-Verlag. – 1995. – Vol. 2. – P. 3056–3061.
10. A Linear 6 Method Applied to 2D Time Domain BEM / G. Yu [et al.] // Communications in Numerical Methods in Engineering. – 1998. – Vol. 14(12). – P. 1171–1179.
11. *Yu, G.* A Linear 9 for 2-D Elastodynamic BE Analysis / G. Yu, W.J. Mansur, J.A.M. Carrer // Computational Mechanics. – 1999. – Vol. 2A. – P. 82–89.
12. *Schanz, M.* Wave Propagation in Viscoelastic and Poroelastic Continua / M. Schanz // Berlin: Springer, 2001. – 170 p.
13. *Birgisson, B.* Elastodynamic Direct Boundary Element Methods with Enhanced Numerical Stability Properties / B. Birgisson, A. Peirce, E. Siebrits // Int. J. Num. Meth. Eng. – 1999. – Vol. 46. – P. 871–888.
14. *Peirce, A.* Stability Analysis and Design of Time-Stepping Schemes for General Elastodynamic Boundary Element Models / A. Peirce, E. Siebrits // Int. J. Num. Meth. Eng. – 1997. – Vol. 40(2). – P. 319–342.
15. *Rizos, D.C.* An Advanced Direct Time Domain BEM Formulation for General 3-D Elastodynamic Problems / D.C. Rizos, D.L. Karabalis // Computational Mechanics. – 1994. – № 15. – P. 249–269.
16. *Coda, H.B.* Three-Dimensional Transient BEM Analysis / H.B. Coda, W.S. Venturini // Computers & Structures. – 1995. – Vol. 56(5). – P. 751–768.
17. *Mansur, W.J.* Time Discontinuous Linear Traction Approximation in Time-Domain BEM Scalar Wave Propagation / W.J. Mansur, J.A.M. Carrer, E.F.N. Siqueira // Int. J. Num. Meth. Eng. – 1998. – Vol. 42(4). – P. 667–683.
18. Stability of Galerkin and Collocation Time Domain Boundary Element Methods as Applied

to the Scalar Wave Equation / G. Yu [et al.] // Computers & Structures. – 2000. – Vol. 74(4). – P. 495–506.

19. Time Weighting in Time Domain BEM / G. Yu [et al.] // Engineering Analysis with Boundary Elements. – 1998. – Vol. 22(3). – P. 175–181.

20. *Lubich, C.* Convolution Quadrature and Discretized Operational Calculus. I. / C. Lubich / Numerische Mathematik. – 1988. – № 52. – P. 129–145.

21. *De Hoop, A.Y.* Representation theorems for the displacement in an elastic solid and their application to elastodynamic diffraction theory / A.Y. De Hoop // Delft: Tech. Hogeschoof, 1958, Dr. Sci. Thesis.

22. *Новацкий, В.* Теория упругости / В. Новацкий. – М.: Мир, 1975. – 872 с.

23. *Чудинович, И.Ю.* Метод граничных уравнений в динамических задачах теории упругости / И.Ю. Чудинович. – Харьков, 1990. – 121 с.

24. *Becache, E.* Resolution par une methode d'equations integrales d'un probleme de diffraction d'ondes elastiques transitoires par une fissure / E. Becache. – These de doctorat, Universite Paris VI, 1991.

25. *Угодчиков, А.Г.* Метод граничных элементов в механике деформируемого твердого тела. / А.Г. Угодчиков, Н.М. Хуторянский. – Казань: Изд-во КГУ, 1986. – 296 с.

26. *Durbin, F.* Numerical inversion of Laplace transforms: an efficient improvement to Dubner and Abate's method / F. Durbin // The Computer Journal. – 1974. – V.17, № 4. – P. 371–376.

27. *Zhao, X.* An efficient approach for the numerical inversion of Laplace transform and its application in dynamic fracture analysis of a piezoelectric laminate / X. Zhao // Int.J. of Solids and Structures. – 2004. – V. 41. – P. 3653–3674.

28. *Lubich, C.* Convolution quadrature and discretized operational calculus. II / C. Lubich // Numerische Mathematik. – 1988. – V. 52. – P. 413–425.

29. *Sladek, V.* Singular integrals in boundary element methods / V. Sladek, J. Sladek // Southampton, Boston: Computational Mechanics Publications. – 1998. – 448 p.

30. *Lachat, J.C.* Effective numerical treatment of boundary integral equations: a formulation for three-dimensional elastostatics / J.C. Lachat, J.O. Watson // Int. J. Numer. Mech. Eng. – 1976. – № 10. – P. 991–1005.

31. *Gaul, L.* Boundary Element Methods for the Dynamic Analysis of Elastic, Viscoelastic, and Piezoelectric Solids / L. Gaul [et al.]: In Encyclopedia of Computational Mechanics / E. Stein, R. de Borst, T. J. R. Hughes, eds. Vol. 2: Solids and Structures / Jhon Wiley & Sons, Ltd., 2004. – P. 751–769.

[22.10.2007]

DEVELOPING A BOUNDARY ELEMENT METHOD FOR ANALYZING 3-DYMENTIONAL CONTACT NONSTATIONARY DYNAMIC PROBLEMS OF ELASTICITY

A.A. Belov, L.A. Igumnov, S.Yu. Litvinchuk

The paper presents two BEM-approaches to analyzing 3-dymensional dynamic problems of elasticity. A BEM-approach using Laplace integral transform and Dourbin method that makes it possible to construct the sought function using a known image is described and demonstrated. Dourbin method with inhomogeneous piecewise quadratic approximation of the image is used. A BEM-approach with explicitly accounting for the time variable is also presented. A BE-technique of constructing a discrete analogue in combination with the quadrature method for convolutions is used. A novel scheme of the quadrature method for convolutions is constructed. The results of the BEM-calculations are given. The presented BEM-schemes demonstrate high accuracy.